



سنتز نانوذرات نقره به روش کاهاشی و تاثیر جذب سطحی پارانیتروآنیلین و کربن دی‌سولفید بر روی آن

رعنا باقری^{*}، احمد کمپانی، ناصر شاه طهماسبی، طبیبه هاشمی فر

آزمایشگاه تحقیقاتی مواد و الکتروسرامیک، گروه فیزیک دانشکده علوم، دانشگاه فردوسی مشهد

(E-mail:hadis.2010@yahoo.com) *

چکیده

در این تحقیق محلول کلوئیدی نانو ذرات نقره به روش کاهاشی تهیه و اثر غلظت‌های مختلف پارانیتروآنیلین و کربن دی‌سولفید بر پایداری نانو ذرات نقره بررسی شده است. نانو ذرات تهیه شده با استفاده از میکروسکوپ الکترونی عبوری (TEM) مشخصه یابی شدند میانگین اندازه ذرات 32nm می‌باشد. ویژگی‌های اپتیکی آن‌ها با کارگیری طیف سنجی $UV - Vis$ مطالعه شد. نتایج نشان می‌دهد که تا غلظت $[PNA] = 2mM$ پایداری ذرات نقره بهتر شده اما برای غلظت‌های بالاتر روند پایداری کاهاش می‌یابد. قله جذب پلاسمون سطحی در غلظت $[PNA] = 2mM$ برابر $\lambda_{\max} = 400\text{nm}$ بدست آمد.

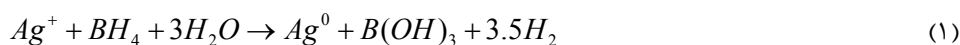
واژه‌های کلیدی: نانو ذرات نقره، روش کاهاشی، پارانیتروآنیلین، کربن دی سولفید

۱- مقدمه

نانو ذرات نقره به دلیل ویژگی‌های جالب توجه از قبیل خواص کاتالیستی [1]، الکترونیکی، اپتیکی [3,4] و نیز ضد باکتریایی [2] بسیار مورد توجه محقق قرار دارد. برای تهیه نانو ذرات نقره روش‌های مختلفی وجود دارد که از آن جمله می‌توان به روش‌های الکتروشیمیایی، تولئن، چگالش فاز بخار و روش کاهاشی اشاره کرد. انتخاب روشی مناسب برای داشتن نانو ذرات نقره با اندازه کوچک و توزیع یکنواخت ذرات بسیار مهم است. در این تحقیق روش کاهاشی برای تهیه نانو ذرات نقره مورد استفاده قرار گرفته است و غلظت بهینه کربن دی سولفید و پارانیتروآنیلین به منظور سنتز نانو ذرات نقره دارای توزیع یکنواخت و نیز پایداری بالا بدست آمد. کیوپینگ هانگ و همکاران [6] سنتز نانو ذرات نقره به روش کاهاشی را انجام دادند اما با توجه به غلظت- $[CS_2] = 1mM$ ، نانو ذرات تهیه شده پایداری بسیار پایینی داشتند و لذا در این پژوهش، برای بالا بردن جذب سطحی، غلظت CS_2 را در حد میکرومولار وارد کردیم [7].

۲- روش آزمایش

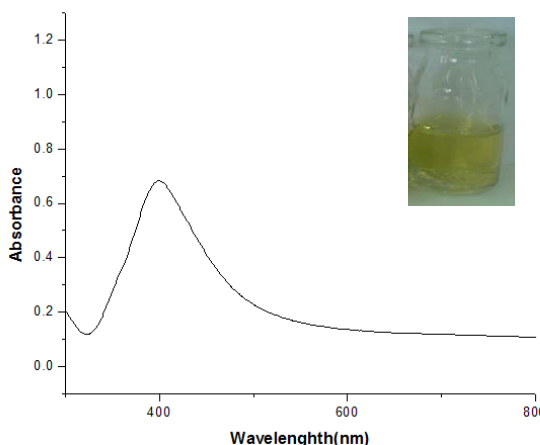
به منظور تهیه نانو ذرات نقره به روش کاهشی از مقادیر مناسب محلول سدیم برو هیدرید($NaBH_4$)، نیترات نقره($AgNO_3$) با استفاده از آب مقطر تهیه شد، با نسبت مولی $\frac{[NaBH_4]}{[AgNO_3]} = 40$ استفاده شد. در طرفی دیگر ابتدا محلول اتانولی (CS_2) ($1mL, 5\mu M$) KOH ($1mL$) اضافه شد. سپس پارانیتروآنیلین(PNA) ($1mL, 1mM$) به محلول تهیه شده اضافه گردید با نسبت مولی $\frac{[PNA]}{[KOH]} = 10$ و به مدت ۱۰ دقیقه در دستگاه اولتراسونیک قرار داده شد. در نهایت محلول $PNA-KOH-CS_2$ تولید گردید. در نهایت نانو ذرات نقره، بر طبق معادله زیر، با $NaBH_4$ و $pH=10$ به عنوان احیاگر و PNA نیز به عنوان پایدارکننده تهیه می شود



از آن جا که افزایش دما باعث کاهش غلظت نانو ذرات و بزرگتر شدن اندازه آنها می شود [5] بنابراین در دمای مناسب $25^{\circ}C$ انتخاب شد.

۳- نتایج

شکل ۱ طیف جذب بر حسب طول موج برای نانو ذرات نقره تهیه شده را نشان می دهد همان‌طور که در شکل مشاهده می شود یک قله در طول موج $\lambda_{max} = 400nm$ است با توجه به شدت این قله چنین به نظر می رسد که این نانو ذرات پایداری خوبی ندارند زیرا غلظت ذرات نقره در محلول نسبتاً پایین است.



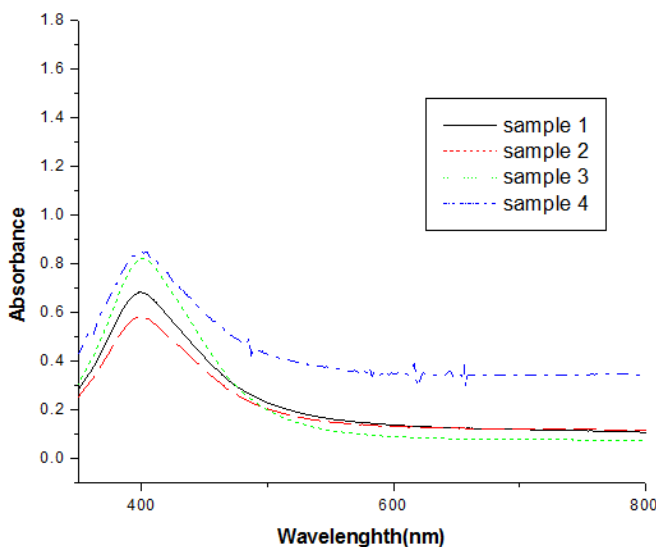
شکل ۱: طیف جذب پلاسمون محلول کلوئیدی نانو ذرات نقره با غلظت $0.1mM$ پارانیتروآنیلین، عکس سمت راست نمایش دهنده رنگ زرد محلول کلوئیدی ذرات نقره تهیه شده

برای رسیدن به پایداری بالا از غلظت‌های مختلف CS_2 , PNA مطابق جدول زیر استفاده کردیم.

جدول ۱: غلظت‌های متفاوت CS_2 , PNA مورد استفاده در محلول کلوئیدی نانو ذرات نقره.

| غلهٔ CS_2 | غلهٔ PNA | نمونه |
|-------------|------------|-------|
| $10\mu M$ | $1mM$ | ۱ |
| $5\mu M$ | $1mM$ | ۲ |
| $5\mu M$ | $2mM$ | ۳ |
| $5\mu M$ | $0 / 5mM$ | ۴ |

همان‌طور که در شکل ۲ مشخص است افزایش CS_2 در محلول کلوئیدی نانو ذرات نقره سبب افزایش شدت قله پلاسمون و کاهش پهنه‌ای قله شده است. بیشترین شدت برای بیشترین غلهٔ $[PNA] = 2mM$ و مقدار کمتر غلهٔ $[CS_2] = 5\mu M$ رخ می‌دهد. در این حالت باز هم رنگ محلول زرد روشن بوده اما پایداری و ماندگاری آن نسبت به محلول قبلی بیشتر می‌باشد. که در نمونه ۴ که در ان غلهٔ $[CS_2] = 5\mu M$ و غلهٔ $[PNA] = 0.5mM$ است شدت قله جذب تقریباً برابر با قله مربوط نمونه ۳ است اما پهنه‌ای قله نمونه ۴ به مراتب بیشتر از پهنه‌ای قله نمونه ۳ می‌باشد که این نشان دهنده پخش شدگی بیشتر نانو ذرات نقره (غلهٔ کمتر) نسبت به نمونه ۳ می‌باشد.

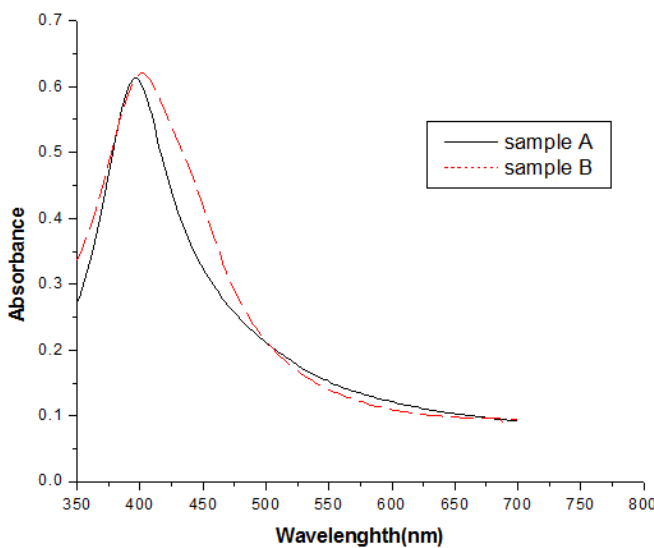


شکل ۲: طیف جذب پلاسمون محلول کلوئیدی نانو ذرات نقره با غلهٔ پودر احیاگر به نقره نیترات

برای بررسی بیشتر در مرحله بعد غلهٔ $[CS_2] = 5\mu M$ انتخاب گردید و سه نمونه با غلهٔ متفاوت PNA مطابق جدول ۲ تهیه شده اند.

جدول ۲: سه نمونه تهیه شده با غلهٔ متفاوت PNA و غلهٔ ثابت CS_2 در محلول کلوئیدی نانو ذرات نقره.

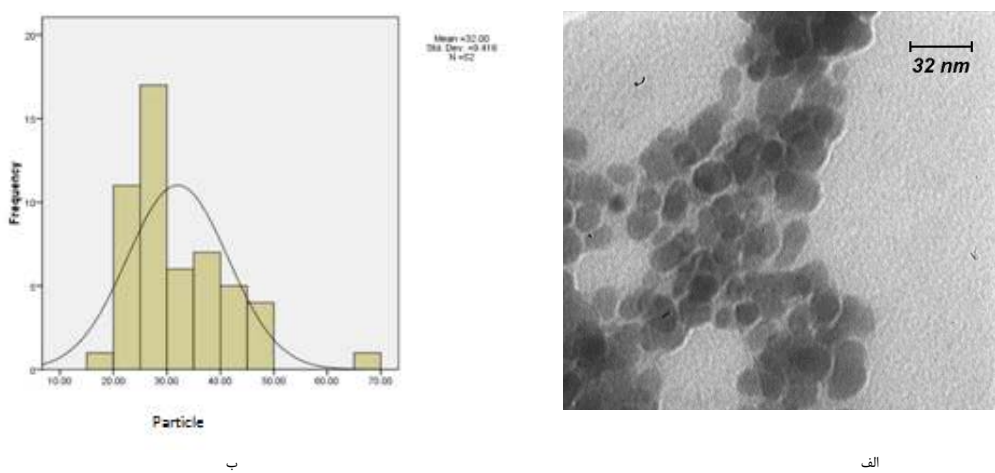
| غلهٔ CS_2 | غلهٔ PNA | نمونه |
|-------------|------------|-------|
| $5\mu M$ | $2mM$ | A |
| $5\mu M$ | $6mM$ | B |



شکل ۳: نمودار جذب پلاسمون محلول کلوئیدی نانو ذرات نقره با غلظت ثابت CS_2 و دوغلظت‌های مختلف PNA

همان طور که نمودارهای شکل ۳ دیده می‌شود شدت قله جذب برای دو نمونه با غلظت $[CS_2] = 5\mu M$ و غلظت-های $[PNA] = 2mM$, $[PNA] = 6mM$ تقریباً یکسان بوده اما قله مربوط به B یک شیفت به سمت طول موج های بالاتر دارد که نشان دهنده بزرگتر بودن اندازه نانو ذرات نقره می‌باشد.

به منظور بررسی اندازه و شکل نانو ذرات نقره از میکروسکوپ الکترونی عبوری TEM نیز استفاده شده است. شکل ۴ تصویر TEM گرفته شده از نانو ذرات نقره تهیه شده و همان طور که این تصویر نشان می‌دهد توزیع ذرات نسبتاً یکنواخت و شکل آن‌ها تقریباً کروی است. نمودار هیستوگرافی نانو ذرات در شکل ۴ ب تهیه شده نشان می‌دهد که میانگین اندازه ذرات نقره در حدود ۳۲ نانو متر می‌باشد.



شکل ۴: تصویر TEM حاوی محلول کلوئیدی نانو ذرات نقره با $[CS_2] = 5\mu M$, $[PNA] = 2mM$ و تصویر سمت راست نمودار هیستوگرافی نانو ذرات نقره.

نتیجه گیری

در این تحقیق سنتز نانو ذرات نقره در غلظت‌های مختلف CS_2 , PNA و به روش احیاگر شیمیایی انجام شد. تاثیر غلظت CS_2 , PNA بر جذب سطحی نانو ذرات نقره بررسی شده‌اند و مشخص شد که حالت بهینه $[CS_2] = 5\mu M$, $[PNA] = 2 mM$ اتفاق می‌افتد که در این صورت همان طور که تصویر *TEM* نشان می‌دهد شکل و توزیع اندازه نانو ذرات نقره سنتز شده به صورت مطلوب و یکنواخت می‌باشد. قله پلاسمون سطحی مربوط به حالت بهینه ماکسیمم به $400 nm$ و اندازه متوسط ذرات $32 nm$ می‌باشد.

سپاسگزاری

از کمک و راهنمایی آقای دکتر رضا تکجو چلارس از بخش شیمی دانشکده علوم دانشگاه فردوسی مشهد قدردانی می‌شود و نیز یاد و خاطره استاد فقید آقای دکتر سید محمد حسینی را گرامی میداریم.

مراجع

- [1] S A Moshkalyov, A L D Moreau, H R Guttierrez, M A Cotta and J W Swar, *Materials Science and Engineering B*, **112**, 2004, 147
- [2] H J Jeon, S C Yi, S G Oh, *Biomaterials*, **24**, 2003, 4921
- [3] JT Lue, *J. Phys. Chem. Solids*, **62**, 2001, 1599
- [4] A A Scalsia, G Compagninina, L DUrsua, O Puglia, *Appl. Surf. Sci.* **226**, 2004, 237.
- [5] XC Jiang*, WM Chen, CY Chen, SX Xiong and AB Yu, *J. Chem. Sci.*, **120**, 2008, 515
- [6] Cuiping Han and Haibing Li, *Analyst*, **135**, 2010, 583
- [7] Arnim Henglein, and Dan Meisel, *J. Phys. Chem. B*, **102**, 1998, 8364